

## Objetivo

Modelado y control Backstepping de un Brazo Robótico de 6 GDL

## Procedimiento

- Realizar el modelado empleando el método de las ecuaciones de Euler-Lagrange.
- Definir el modelo en MATLAB usando matemática simbólica.
- Diseño del sistema de control Backstepping.
- Verificación del sistema diseñado mediante estudios de simulación.

## Brazos robóticos

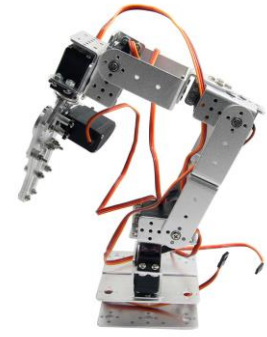


Figura 1. Brazo robótico de 6 GDL [1]

## Modelado dinámico del sistema

### Brazo Robótico de 6GDL:

Posición los vértices y segmentos:

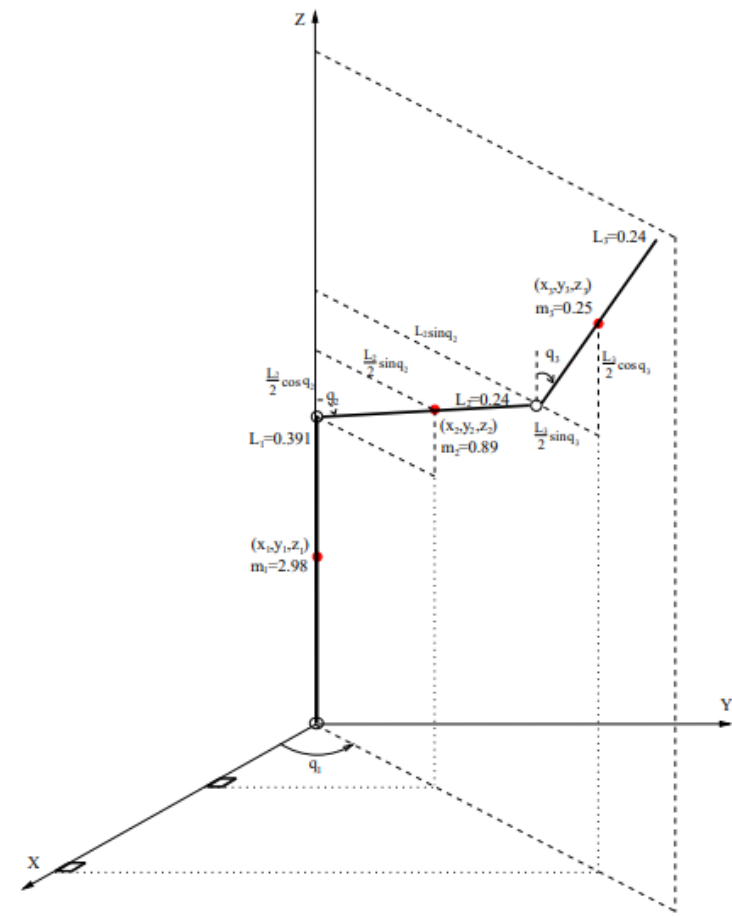


Figura 2. Descomposición de coordenadas de cada unión

### ECUACIONES DINÁMICAS NO LINEALES [1]

Ecuaciones de energía eslabón uno

$$\begin{aligned} x_1 &= 0 \\ y_1 &= 0 \\ z_1 &= \frac{m_a l_a + m_r l_r}{m_a + m_r} \end{aligned}$$

Energía cinética V1

$$V1 = \frac{1}{2} J_1 \dot{q}_1^2;$$

Energía potencial U1

$$U1 = \frac{m_1 g (m_a l_a + m_r l_r)}{(m_a + m_r)};$$

Ecuaciones de energía eslabón dos

$$\begin{aligned} x_2 &= \frac{L_2}{2} \sin(q_2(t)) \cos(q_1(t)) \\ y_2 &= \frac{L_2}{2} \sin(q_2(t)) \sin(q_1(t)) \\ z_2 &= L_1 + L_2 \cos(q_2(t)) \end{aligned}$$

Energía cinética V2

$$V2 = \frac{1}{2} J_2 \dot{q}_2^2 + \frac{1}{2} m_2 (\dot{x}_2^2 + \dot{y}_2^2 + \dot{z}_2^2)$$

Energía potencial U2

$$U2 = m_2 g (L_1 + \frac{L_2}{2} \cos q_2);$$

Ecuaciones de energía eslabón 3

$$\begin{aligned} x_3 &= \left( L_2 \sin(q_2(t)) + \frac{L_3}{2} \sin(q_3(t)) \right) \cos(q_1(t)) \\ y_3 &= \left( L_2 \sin(q_2(t)) + \frac{L_3}{2} \sin(q_3(t)) \right) \sin(q_1(t)) \\ z_3 &= L_1 + \frac{L_2}{2} \cos(q_2(t)) + \frac{L_3}{2} \cos(q_3(t)) \end{aligned}$$

Energía cinética V3

$$V3 = \frac{1}{2} * J_3 * \dot{q}_3^2 + \frac{1}{2} * m_3 * (\dot{x}_3^2 + \dot{y}_3^2 + \dot{z}_3^2)$$

Energía potencial U3

$$U3 = m_3 g z_3;$$

Ecuaciones de energía eslabón 4

$$\begin{aligned} x_4 &= x_3 + \frac{L_3}{2} \sin(q_3(t)) \cos(q_1(t)) + \frac{L_4}{2} \sin(q_4(t)) \cos(q_1(t)) \\ z_4 &= z_3 + \frac{L_3}{2} \cos(q_3(t)) + \frac{L_4}{2} \cos(q_4(t)) \\ y_4 &= y_3 + \frac{L_3}{2} \sin(q_3(t)) \sin(q_1(t)) + \frac{L_4}{2} \sin(q_4(t)) \sin(q_1(t)) \end{aligned}$$

Energía cinética V4

$$V4 = \frac{1}{2} J_4 \dot{q}_4^2 + \frac{1}{2} * m_4 * (\dot{x}_4^2 + \dot{y}_4^2 + \dot{z}_4^2)$$

Energía potencial U4

$$U4 = m_4 g z_4$$

Ecuaciones de energía eslabón 5

$$\begin{aligned} x_4 &= x_3 + \frac{L_3}{2} \sin(q_3(t)) \cos(q_1(t)) + \frac{L_4}{2} \sin(q_4(t)) \cos(q_1(t)) \\ z_4 &= z_3 + \frac{L_3}{2} \cos(q_3(t)) + \frac{L_4}{2} \cos(q_4(t)) \\ y_4 &= y_3 + \frac{L_3}{2} \sin(q_3(t)) \sin(q_1(t)) + \frac{L_4}{2} \sin(q_4(t)) \sin(q_1(t)) \end{aligned}$$

Energía cinética V5

$$V5 = \frac{1}{2} * J_5 * \dot{q}_5^2 + \frac{1}{2} * m_5 * (\dot{x}_5^2 + \dot{y}_5^2 + \dot{z}_5^2)$$

Energía potencial U5

$$U5 = m_5 g z_5$$

Ecuaciones de energía eslabón 6

$$\begin{aligned} x_4 &= x_3 + \frac{L_3}{2} \sin(q_3(t)) \cos(q_1(t)) + \frac{L_4}{2} \sin(q_4(t)) \cos(q_1(t)) \\ z_4 &= z_3 + \frac{L_3}{2} \cos(q_3(t)) + \frac{L_4}{2} \cos(q_4(t)) \\ y_4 &= y_3 + \frac{L_3}{2} \sin(q_3(t)) \sin(q_1(t)) + \frac{L_4}{2} \sin(q_4(t)) \sin(q_1(t)) \end{aligned}$$

Energía cinética V6

$$V6 = \frac{1}{2} * J_6 * \dot{q}_6^2 + \frac{1}{2} * m_6 * (\dot{x}_6^2 + \dot{y}_6^2 + \dot{z}_6^2)$$

Energía potencial U6

$$U6 = m_6 g z_6$$

## Diseño del Controlador Backstepping[2]:

Ecuación del actuador del brazo robótico:

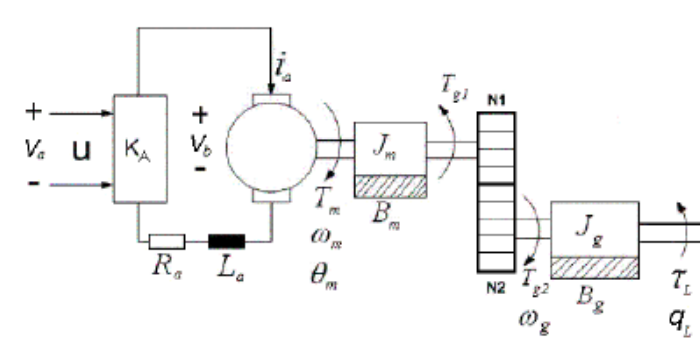


Figura 3. Diagrama del actuador [2]

$$\tau_1 = -J_{eq} \ddot{q}_1 - \left( B_{eq} + \frac{n^2 K_m K_b}{R_a} \right) \dot{q}_1 + \frac{n K_m K_A}{R_a} u_1$$

Ecuación de Lagrange:

$$\begin{aligned} L &= V - U \\ \tau_i &= \frac{d}{dt} \frac{\partial L}{\partial \dot{q}_i} - \frac{\partial L}{\partial q_i} \end{aligned}$$

Ecuación Matricial del Sistema

$$M(q) \ddot{q} + P(q, \dot{q}) \dot{q} + d(q) = u$$

Función Lyapunov Candidata:

$$V = \frac{1}{2} z_1^T K_1 z_1 + \frac{1}{2} z_2^T M(q) z_2 + \frac{1}{2} \dot{q}^T M(q) \dot{q} \equiv \frac{1}{2} x_1^T P_1 x_1$$

Entrada de Control

$$u = M(q) \ddot{q} + P(q, \dot{q}) \dot{q} + d(q) - K_d (\dot{q} - \dot{q}_r) - K_1 z_1$$

## Matrices del Modelo Dinámico en Matlab

Para la simulación, se convierten las matrices con variables simbólicas a funciones de Matlab. Esto reduce el tiempo de ejecución del lazo de control.

$$M = \text{matlabFunction}(\text{vpa}(\text{simplify}(\text{expand}(M))));$$

$$P = \text{matlabFunction}(\text{vpa}(\text{simplify}(\text{expand}(P))));$$

$$D = \text{matlabFunction}(\text{vpa}(\text{simplify}(\text{expand}(D))));$$

## Resultados de la Simulación

Simulación de regulación

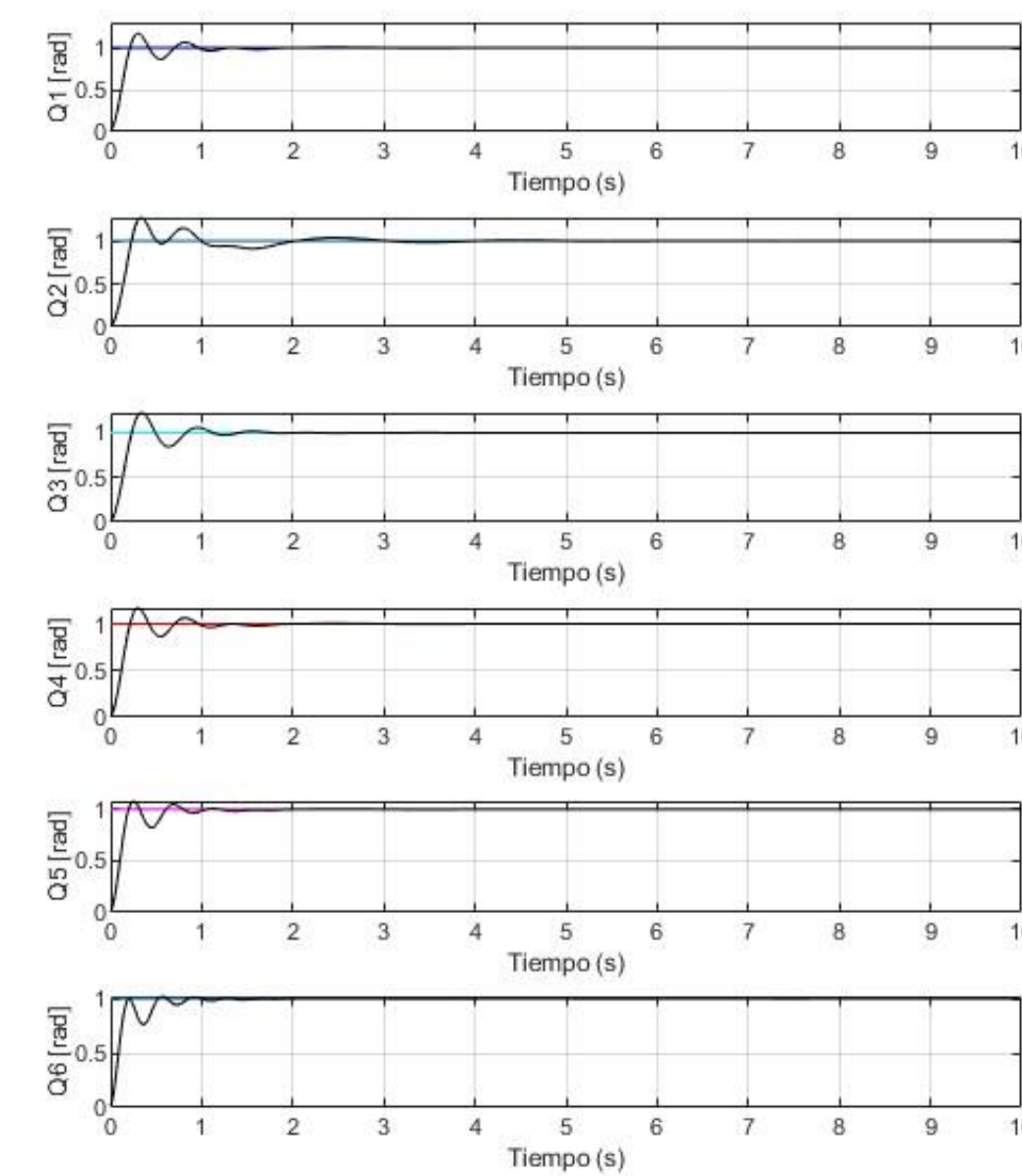


Figura 3. Señales de las salidas y referencias en regulación

Simulación de seguimiento

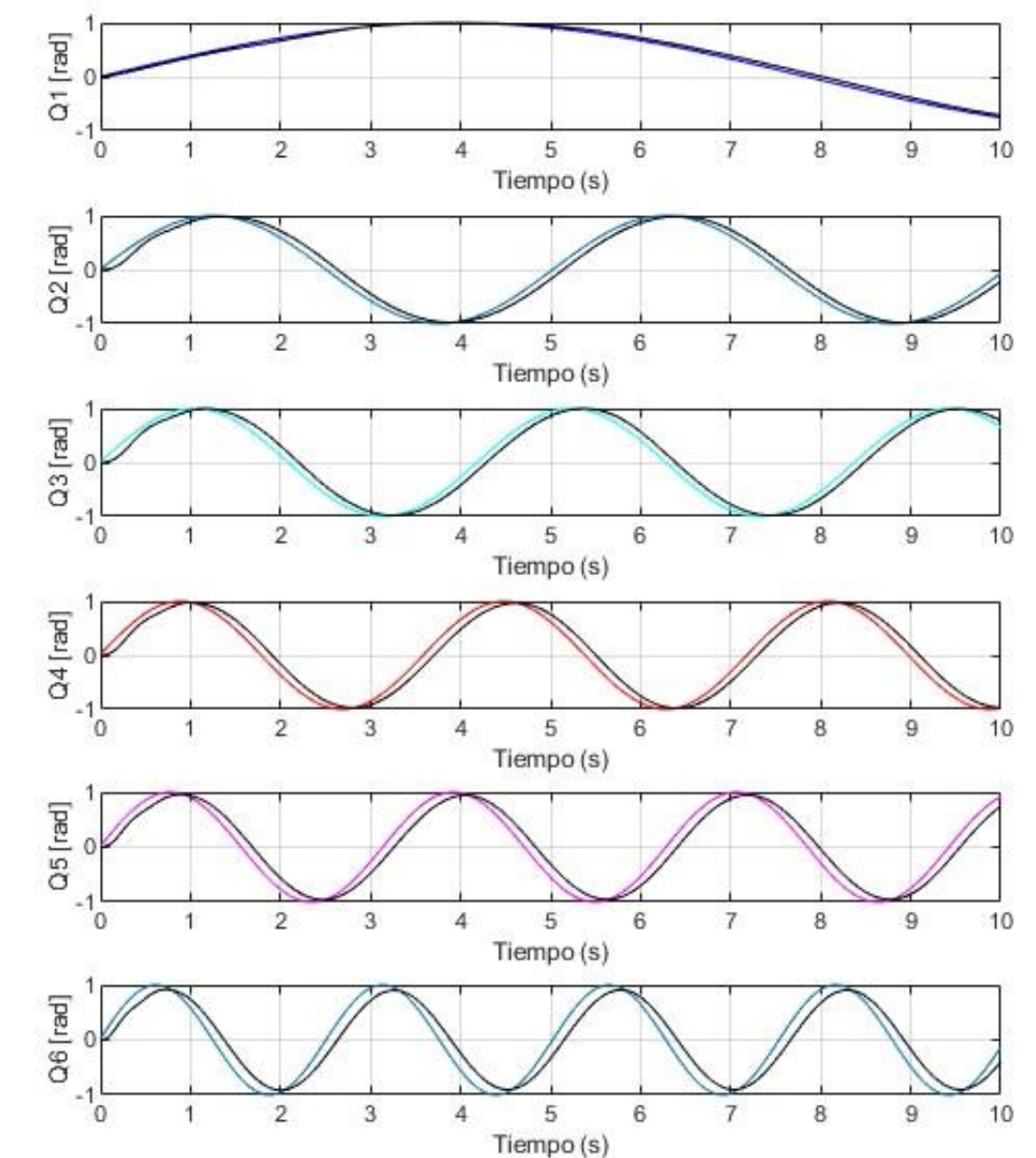


Figura 5. Señales de las salidas y las referencias en seguimiento

## CONCLUSIONES

En base a las figuras, se puede observar que el modelado del sistema realizado mediante el método de Euler-Lagrange fue correcto, debido a que se logró simular el modelo.

## BIBLIOGRAFÍA

- Brazo Robot de 6 Grados de Libertad + 06 servomotores + Pinza de Aluminio. (s.f.). [Fotografía]. <https://electropro.pe/image/cache/data/imgProductos/303.%20Brazo%20Robot%20de%206%20Grados%20de%20Libertad%20-%20incluye%2006%20servomotores/3-1000x1000.jpg>
- A. Rojas, "Control No Lineal Multivariable, Aplicaciones en Tiempo Real", Editorial: UNI, 2012, ISB: 978-612-4072-18-5.